



دانشگاه مازندران

دانشکده شیمی

پایان نامه دوره کارشناسی ارشد در رشته شیمی گرایش شیمی فیزیک

موضوع:

اندازه‌گیری ویسکوزیته، دانسیتیه، ضریب شکست و حجم مولار اضافی
مخلوطهای دوتایی در سه دمای مختلف

استاد راهنما:

دکتر عباسعلی رستمی

استاد مشاور:

دکتر سعید یگانگی

نام دانشجو:

سید عباس موسی زاده رستمکلائی

آذر ماه ۱۳۸۸

سپاسگزاری

پیامبر اکرم فرمودند:

مَنْ أَرْدَادَ عِلْمًا، وَلَمْ يَزْدَدْ هُدًىٰ لَمْ يَزْدَدْ مِنَ اللَّهِ إِلَّا بُعْدًا

(هر که دانش فزونی یابد و هدایت یافته تر نشود از خدا دورتر می‌شود)

از تمامی استادان، معلمان، دوستان و خانواده‌ام سپاسگذارم.

تقدیم به :

قلب همیشه مهربان مادر عزیزم

۶

همسر مهربان و فرزند عزیزم

ث

چکیده:

دانسیته، ویسکوزیته و ضریب شکست مخلوطهای دوتایی با کسرهای مولی مختلف در دماهای ۱۵/۲۹۸، ۱۵/۳۰۳ و ۱۵/۳۰۸ کلوین و در فشار اتمسفر تعیین شد. از این داده‌ها برای محاسبه حجم مولار اضافی و انحراف از ویسکوزیته استفاده شد. همچنین مقادیر انرژی اضافی گیبس فعالسازی با استفاده از مقادیر تجربی محاسبه گردید. کمیتهای نامبرده بالا در معادله ردیچ-کیستر قرار داده تا پارامترهای برهمنشیهای دوتایی تخمین زده شود. همچنین داده‌های ویسکوزیته نیز با معادله مک-آلیستر تصحیح گردید.

واژه‌های کلیدی:

ویسکوزیته، ضریب شکست، معادله ردیچ کیستر، حجم مولار اضافی، انحراف از ویسکوزیته، انحراف از ضریب شکست..

فهرست مطالب

عنوان	صفحة
فصل اول - مقدمه	۱
فصل دوم - مبانی نظری	۶
۱-۲ ویسکوزیته	۶
۲-۲ کاربردهای ویسکوزیته	۱۰
۳-۲ انواع ویسکوزیته	۱۱
۴-۲ روش‌های اندازه‌گیری ویسکوزیته	۱۳
۵-۲ مدل مک‌آلیستر	۱۴
۶-۲ توابع اضافی	۲۰
۷-۲ نحوه اندازه‌گیری و محاسبه توابع اضافی ترمودینامیکی	۲۲
۸-۲ معادله چند جمله‌ای ردیچ کیستر	۲۳
۹-۲ رابطه بین حجم مولی اضافی و انتالپی اضافی	۲۶
۱۰-۲ تئوری ERAS	۲۸
۱۱-۲ ضریب شکست	۲۹
۱۲-۲ چگالی	۳۱
فصل سوم - بخش تجربی	۳۵
۱-۳ مواد مصرفی	۳۵
۲-۳ وسایل و تجهیزات	۳۶
۳-۳ اندازه‌گیری دانسیته مخلوطهای دوتایی	۳۶
۴-۳ تعیین حجم مولار اضافی	۴۳

۵۴ ۵-۳ اندازه گیری ضریب شکست مخلوطها
۵۸ ۶-۳ انحراف ویسکوزیته
۷۳ ۷-۳ انرژی آزاد گیبس اضافی فعالسازی
۷۸ فصل چهار - بحث و بررسی نتایج
۷۸ ۴-۱ بررسی تغییرات حجم مولی اضافی مخلوطها
۸۱ ۴-۲ بررسی تغییرات انحراف ویسکوزیته مخلوطها
۸۲ ۴-۳ بررسی انحراف ضریب شکست مخلوطها
۸۲ ۴-۴ بررسی تغییرات انرژی گیبس اضافی ویسکوزیته مخلوطها
۸۴ فصل پنجم - منابع و مراجع و چکیده انگلیسی
۸۴ ۱-۵ منابع و مراجع

فهرست شکل ها

عنوان	صفحة
شکل ۱-۲ سیالی که بین دو صفحه مسطح جریان دارد	۸
شکل ۲-۲ دستگاه ویسکوزیته متر شات گراته	۱۳
شکل ۳-۲ تصویر برشی مدل آیرینگ بین دو لایه مایع	۱۵
شکل ۴-۲ انواع برهمنکنشهای موجود در مخلوط دوتایی	۱۵
شکل ۵-۲ شکست نور به هنگام ورود نور از یک محیط به محیط دیگر	۳۷
شکل ۶-۲ دستگاه رفرکتومتر برای اندازه گیری ضریب ضریب شکست مایعات	۳۰
شکل ۷-۲ دستگاه دانسیته متر آنتون پار	۳۱
شکل ۸-۲ شمای سل دستگاه دانسیتومتر	۳۲
شکل ۹-۲ مدل فر برای توصیف حرکت نوسانگر	۳۴
شکل ۱-۳ نمودار تغییرات دانسیته برای سیستم دو جزئی (۱) وینیل استات + (۲) DMP در دمای K ۲۹۸/۱۵	۳۹
شکل ۲-۳ نمودار تغییرات دانسیته برای سیستم دو جزئی (۱) وینیل استات + (۲) DEP در دمای K ۲۹۸/۱۵	۴۰
شکل ۳-۳ نمودار تغییرات دانسیته برای سیستم دو جزئی (۱) وینیل استات + (۲) DBP در دمای K ۲۹۸/۱۵	۴۱
شکل ۴-۳ نمودار تغییرات دانسیته برای سیستم دو جزئی (۱) برموسیکلو هگزان + (۲) DEP در دمای K ۲۹۸/۱۵	۴۲
شکل ۵-۳ نمودار تغییرات دانسیته برای سیستم دو جزئی (۱) او-۲-دی کلرو بنزن + (۲) DBP در دمای K ۲۹۸/۱۵	۴۳
شکل ۶-۳ نمودار تغییرات V ^E برای سیستم دو جزئی (۱) وینیل استات + (۲) DMP در دمای K ۲۹۸/۱۵	

۴۴ دمای K ۲۹۸/۱۵

شکل ۳-۷ نمودار تغییرات V^E برای سیستم دو جزئی (۱) وینیل استات + (۲) DMP در سه دما

۴۵ سه دما

شکل ۳-۸ نمودار تغییرات V^E برای سیستم دو جزئی (۱) وینیل استات + (۲) DEP در سه دما

۴۶ دمای K ۲۹۸/۱۵

شکل ۳-۹ نمودار تغییرات V^E برای سیستم دو جزئی (۱) وینیل استات + (۲) DEP در سه دما

۴۷ سه دما

شکل ۳-۱۰ نمودار تغییرات V^E برای سیستم دو جزئی (۱) وینیل استات + (۲) DBP در سه دما

۴۸ دمای K ۲۹۸/۱۵

شکل ۳-۱۱ نمودار تغییرات V^E برای سیستم دو جزئی (۱) وینیل استات + (۲) DBP در سه دما

۴۹ سه دما

شکل ۳-۱۲ نمودار تغییرات V^E برای سیستم دو جزئی (۱) جزئی (۱) برمودیکلو بنزن +

۵۰ در دمای K ۲۹۸/۱۵ DEP (۲)

شکل ۳-۱۳ نمودار تغییرات V^E برای سیستم دو جزئی (۱) جزئی (۱) برمودیکلو بنزن +

۵۱ در سه دما DEP (۲)

شکل ۳-۱۴ نمودار تغییرات V^E برای سیستم دو جزئی (۱) جزئی (۱) دیکلرو بنزن +

۵۲ در دمای K ۲۹۸/۱۵ DBP (۲)

شکل ۳-۱۵ نمودار تغییرات V^E برای سیستم دو جزئی (۱) جزئی (۱) دیکلرو بنزن +

۵۳ در سه دما DBP (۲)

شکل ۳-۱۶ n_D برای سیستم دو جزئی (۱) دیکلرو بنزن + (۲) DBP در دمای K ۲۹۸/۱۵

شکل ۳-۱۷ Δn_D برای سیستم دو جزئی (۱) دیکلرو بنزن + (۲) DBP در دمای K ۲۹۸/۱۵

شکل ۳-۱۸ Δn_D برای سیستم دو جزئی (۱) دیکلرو بنزن + (۲) DBP در سه دما

شکل ۳-۱۹ $\Delta \eta$ برای سیستم دو جزئی (۱) وینیل استات + (۲) DMP در دمای K ۲۹۸/۱۵

- شکل ۳-۲۰ برای سیستم دو جزئی (۱) وینیل استات + (۲) DMP در سه دما $\Delta\eta$ ۲۰-۳ ۶۲
- شکل ۳-۲۱ برای سیستم دو جزئی (۱) وینیل استات + (۲) DEP در دمای K ۲۹۸/۱۵ ۶۴
- شکل ۳-۲۲ برای سیستم دو جزئی (۱) وینیل استات + (۲) DEP در سه دما $\Delta\eta$ ۲۲-۳ ۶۴
- شکل ۳-۲۳ برای سیستم دو جزئی (۱) وینیل استات + (۲) DBP در دمای K ۲۹۸/۱۵ ۶۶
- شکل ۳-۲۴ برای سیستم دو جزئی (۱) وینیل استات + (۲) DBP در سه دما $\Delta\eta$ ۲۴-۳ ۶۷
- شکل ۳-۲۵ برای سیستم دو جزئی (۱) برمو سیکلو هگزان + (۲) DEP در دمای K ۲۹۸/۱۵ ۶۹
- شکل ۳-۲۶ برای سیستم دو جزئی (۱) برمو سیکلو هگزان + (۲) DEP در سه دما $\Delta\eta$ ۲۶-۳ ۶۹
- ششکل ۳-۲۷ برای سیستم دو جزئی (۱) ۱و۲-دی کلرو بنزن + (۲) DBP در دمای K ۳۰۸/۱۵ ۷۱
- شکل ۳-۲۸ برای سیستم دو جزئی (۱) ۱و۲-دی کلرو بنزن + (۲) DBP در سه دما $\Delta\eta$ ۲۸-۳ ۷۲
- شکل ۳-۲۹ نمودار G^{*E} برای سیستم دو جزئی (۱) وینیل استات + (۲) DBP در دمای K ۳۰۳/۱۵ ۷۵
- شکل ۳-۳۰ نمودار G^{*E} برای سیستم دو جزئی (۱) ۱و۲-دی کلرو بنزن + (۲) DBP در دمای K ۲۹۸/۱۵ ۷۶
- شکل ۳-۳۱ نمودار G^{*E} برای سیستم دو جزئی (۱) ۱و۲-دی کلرو بنزن + (۲) DBP در سه دما $\Delta\eta$ ۳۱-۳ ۷۷
- شکل ۴-۱ نمودار تغییرات V^E برای سیستم های دو جزئی (۱) وینیل استات + (۲) BMP در دمای K ۲۹۸/۱۵ ۷۸
- شکل ۴-۲ نمودار تغییرات V^E برای سیستم های دو جزئی (۱) وینیل استات + (۲) BMP در دمای K ۳۰۸/۱۵ ۷۹
- شکل ۴-۳ برای سیستم های دو جزئی (۱) وینیل استات + (۲) BMP در دمای K $\Delta\eta$ ۳-۴ ۸۰
- شکل ۴-۴ برای سیستم های دو جزئی (۱) وینیل استات + (۲) BEP در دمای K ۲۹۸/۱۵ ۸۱

فهرست جداول

صفحه	عنوان
۳۵	جدول ۱-۳ مواد مصرفی
۳۷	جدول ۲-۳ دانسیته تجربی در مقایسه با دانسیته مراجع
۳۸	جدول ۳-۳ دانسیته برای سیستم های دوتایی (۱) وینیل استات + (۲) DMP در سه دما
۳۹	جدول ۴-۳ دانسیته برای سیستم های دوتایی (۱) وینیل استات + (۲) DEP در سه دما
۴۰	جدول ۵-۳ دانسیته برای سیستم های دوتایی (۱) وینیل استات + (۲) DBP در سه دما
۴۱	جدول ۶-۳ دانسیته برای سیستم های دوتایی (۱) برمو سیکلو هگزان + (۲) DEP در سه دما
۴۲	جدول ۷-۳ دانسیته برای سیستم های دوتایی (۱) او ۲ - دی کلروبنزن + (۲) DBP در سه دما
۴۴	جدول ۸-۳ V^E برای سیستم های دوتایی (۱) وینیل استات + (۲) DMP در سه دما
۴۵	جدول ۹-۳ ضرایب ردیچ کیستر و انحراف استاندارد V^E برای سیستم های دوتایی (۱) وینیل استات + (۲) DMP در سه دما
۴۶	جدول ۱۰-۳ V^E برای سیستم های دوتایی (۱) وینیل استات + (۲) DEP در سه دما
۴۷	جدول ۱۱-۳ ضرایب ردیچ کیستر و انحراف استاندارد V^E برای سیستم های دوتایی (۱) وینیل استات + (۲) DEP در سه دما
۴۸	جدول ۱۲-۳ V^E برای سیستم های دوتایی (۱) وینیل استات + (۲) DBP در سه دما
۴۹	جدول ۱۳-۳ ضرایب ردیچ کیستر و انحراف استاندارد V^E برای سیستم های دوتایی (۱) وینیل استات + (۲) DBP در سه دما
۵۰	جدول ۱۴-۳ جدول ۱۲-۳ V^E برای سیستم های دوتایی (۱) برمو سیکلو هگزان + (۲) DEP در سه دما
۵۱	جدول ۱۵-۳ ضرایب ردیچ کیستر و انحراف استاندارد V^E برای سیستم های دوتایی (۱) برمو سیکلو هگزان + (۲) DEP در سه دما
۵۲	جدول ۱۶-۳ V^E برای سیستم های دوتایی (۱) او ۲ - دی کلرو بنزن + (۲) DBP در سه دما

جدول ۱۷-۳ ضرایب ردیچ کیستر و انحراف استاندارد V^E برای سیستم های دوتایی

۵۳ (۱) + (۲) - دی کلرو بنزن + DBP در سه دما

جدول ۱۸-۳ ضریب شکست برای سیستم های دوتایی (۱) ۱و۲ - دی کلرو بنزن + (۲) DBP در سه دما

جدول ۱۹-۳ انحراف ضریب شکست برای سیستم های دوتایی (۱) ۱و۲ - دی کلرو بنزن +

۵۶ DBP در سه دما

جدول ۲۰-۳ ضرایب ردیچ کیستر و انحراف استاندارد تغییرات ضریب شکست برای سیستم های دوتایی (۱) ۱و۲ - دی کلرو بنزن + (۲) DBP در سه دما

۵۹ جدول ۲۱-۳ انواع شماره های کاپیلار جهت اندازه گیری ویسکوزیته مایعات مختلف

۶۰ جدول ۲۲-۳ ویسکوزیته ترکیبات خالص در دمای K ۲۹۸/۱۵ با توجه به مراجع و داده های تجربی

۶۰ جدول ۲۳-۳ ویسکوزیته مطلق برای مخلوط (۱) وینیل استات + (۲) DMP در سه دما

۶۱ جدول ۲۴-۳ انحراف ویسکوزیته برای مخلوط (۱) وینیل استات + (۲) DMP در سه دما

جدول ۲۵-۳ ضرایب ردیچ کیستر و انحراف استاندارد تغییرات ویسکوزیته برای مخلوط

۶۲ (۱) وینیل استات + (۲) DMP در سه دما

۶۳ جدول ۲۶-۳ ویسکوزیته مطلق برای مخلوط (۱) وینیل استات + (۲) DEP در سه دما

۶۳ جدول ۲۷-۳ انحراف ویسکوزیته برای مخلوط (۱) وینیل استات + (۲) DEP در سه دما

جدول ۲۸-۳ ضرایب ردیچ کیستر و انحراف استاندارد تغییرات ویسکوزیته برای مخلوط

۶۵ (۱) وینیل استات + (۲) DEP در سه دما

۶۵ جدول ۲۹-۳ ویسکوزیته مطلق برای مخلوط (۱) وینیل استات + (۲) DBP در سه دما

۶۶ جدول ۳۰-۳ انحراف ویسکوزیته برای مخلوط (۱) وینیل استات + (۲) DBP در سه دما

جدول ۳۱-۳ ضرایب ردیچ کیستر و انحراف استاندارد تغییرات ویسکوزیته برای مخلوط

۶۷ (۱) وینیل استات + (۲) DBP در سه دما

۶۸ جدول ۳۲-۳ ویسکوزیته مطلق برای مخلوط (۱) برمو سیکلو هگزان + (۲) DEP در سه دما

۶۸ جدول ۳۳-۳ انحراف ویسکوزیته برای مخلوط (۱) برمو سیکلو هگزان + (۲) DEP در سه دما

جدول ۳۴-۳ ضرایب ردیچ کیستر و انحراف استاندارد تغییرات ویسکوزیته برای مخلوط

۷۰ (۱) برمو سیکلو هگزان + (۲) DEP در سه دما

جدول ۳۵-۳ ویسکوزیته مطلق برای مخلوط (۱) او-۲-دی کلرو بنزن + (۲) DBP در سه دما

جدول ۳۶-۳ انحراف ویسکوزیته برای مخلوط (۱) او-۲-دی کلرو بنزن + (۲) DBP در سه دما

جدول ۳۷-۳ ضرایب ردیچ کیستر و انحراف استاندارد تغییرات ویسکوزیته برای مخلوط

۷۲ (۱) او-۲-دی کلرو بنزن + (۲) DBP در سه دما

جدول ۳۸-۳ ضرایب مک آلیستر برای مخلوطها در سه دمای مختلف

۷۴ جدول ۳۹-۳ مقادیر G^{*E} برای مخلوط (۱) وینیل استات + (۲) DBP در سه دما

جدول ۴۰-۳ ضرایب ردیچ کیستر و انحراف استاندارد G^{*E} برای مخلوط

۷۵ (۱) وینیل استات + (۲) DBP در سه دما

جدول ۴۱-۳ مقادیر G^{*E} برای مخلوط (۱) او-۲-دی کلرو بنزن + (۲) DBP در سه دما

جدول ۴۲-۳ ضرایب ردیچ کیستر و انحراف استاندارد G^{*E} برای مخلوط

۷۷ (۱) او-۲-دی کلرو بنزن + (۲) DBP در سه دما

لیست علائم و اختصارات

(η)	ویسکوزیته:	(ρ)	دانسیته:
(Δη)	انحراف از ویسکوزیت:	(n _D)	ضریب شکست:
(DMP)	دی متیل فتالات:	(V ^E)	حجم مولار اضافی:
(DBP)	دی بوتیل فتالات:	(Δn _D)	انحراف از ضریب شکست:
		(DEP)	دی اتیل فتالات:
		(P)	پواز:

فصل اول: مقدمه

پیدایش علم شیمی به این صورت بود که انسان از بد و خلقت که پیوسته با اشیای محیط زیست خود سرو کار پیدا کرد، با شناخت تدریجی نیازهای زندگی خویش و کسب اطلاعات بیشتری درباره خواص آنها به این نتیجه رسید که برای ادامه حیات خود بنناچار باید در آنها تغییراتی وارد کند. این کار با استفاده از گرما و بویژه آتش به صورت عملی در آمده بود.

آغاز دانش بشری را در واقع می‌توان همان آغاز استفاده از آتش دانست، زیرا گرم کردن و پختن مواد تغییرات شیمیایی می‌باشند، ولی این خود نشان دهنده این واقعیت است که شیمی علمی است که در ارتباط با اولین و حیاتی‌ترین نیازهای جامعه بشری بوجود آمده و برای برآورده کردن هر چه بیشتر این نیازها که روز به روز تنوع حاصل کرد توسعه یافته است.

از آنجا که علم شیمی تجربی است و بشر اولیه قبل از هر نوع تفکر و نظریه برداری از ساختار و چگونگی پیدایش مواد موجود در محیط زیست خود، در اندیشه حفظ خود از سرما، گرما، رفع گرسنگی و احتمال دفاع از هستی خویش بوده و در راه دسترسی به چگونگی تغییر و تبدیل آنها به منظور استفاده هر چه بهتر و بیشتر از آنها قدم بر می‌داشت، بر همین اساس است که بخش شیمی نظری خیلی دیرتر از بخش عملی روی کار آمد.

مطالعه خواص ترمودینامیکی اضافی مخلوطهای دوتایی مانند حجم اضافی و انرژی آزاد گیبس اضافی در فهم برهمکنشهای بین مولکولی اهمیت زیادی دارد [۱]. به طور کلی مطالعه توابع اضافی برای بررسی ماهیت و استحکام برهمکنشهای بین مولکولی اجزای یک محلول استفاده می‌شود. در صنعت مخلوطهای مایعات اهمیت و کاربرد بیشتری نسبت به مایعات خالص دارند.

در میان خواص اضافی مختلف حجم مولار اضافی مورد علاقه بیشتری است، چون راحت‌تر اطلاعاتی راجع به برهمکنشهای بین مولکولی فراهم می‌کند، از جمله می‌توان از برهمکنشهای بین مولکولی دی‌پل-دی‌پل یا دی‌پل القایی و همچنین به ساختار مولکولی پی‌برد. شناخت این خواص در بسیاری از مسائل چون انتقال جرم، انتقال انرژی، انتقال حرارت و یا جریان سیالات بسیار مهم هستند [۲].

دانسیته و گرانزوی مخلوطهای مایع در بیشتر محاسبات مهندسی که جریان سیالات نقش دارد، یک فاکتور مهم و اساسی است [۳]. در مورد اندازه‌گیری دانسیته و ویسکوزیته و حجم اضافی مخلوطهای دوتایی مطالعات زیادی انجام شده است که شامل موارد زیر می‌باشند:

از جمله تحقیقاتی که بر روی خواص ترمودینامیکی مخلوطهای دوتایی با وینیل استات انجام گرفته است، شامل اندازه‌گیری دانسیته و ویسکوزیته مخلوطهای دوتایی وینیل استات با اتیل بوتیرات در دمای ۲۹۸/۱۵ کلوین می‌باشد [۴]. ابتدا دانسیته و ضریب شکست این مخلوطهای دوتایی اندازه‌گیری شده و سپس با استفاده از اندازه‌گیری‌های دانسیته، حجم مولار اضافی محاسبه شده، و با استفاده از اندازه‌گیری‌های ضریب شکست، انحراف از ضریب شکست محاسبه، سپس داده‌های حجم مولی اضافی و انحراف از ضریب شکست، توسط معادله ردیچ کیستر^۱ فیت شدند. و به بررسی برهمکنشهای بین مولکولی پرداخته شد.

تحقیقات دیگری در ارتباط وینیل استات انجام گرفته، شامل اندازه‌گیری دانسیته و ویسکوزیته مخلوطهای دوتایی وینیل استات با نرمال آلکانول‌ها در دمای ۳۰/۱۵ کلوین می‌باشد [۵].

1- Redlich-Kister

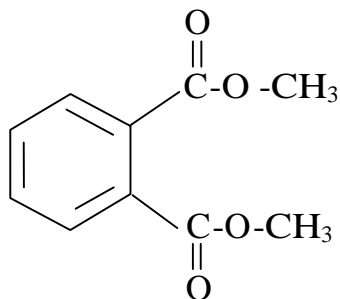
تحقیقاتی که بر روی خواص ترمودینامیکی مخلوطهای دوتایی با دی اتیل فتالات انجام گرفته، شامل اندازه‌گیری دانسیته، ضریب شکست و ویسکوزیته مخلوط دوتایی دی اتیل فتالات با ۴-۶ دی اکسان در دماهای ۳۰۸/۱۵ و ۳۰۳/۱۵ کلوین می‌باشد [۶]. دانسیته، ضریب شکست و ویسکوزیته این مخلوطهای دوتایی در دماهای ۳۰۸/۱۵، ۳۰۳/۱۵، ۲۹۸/۱۵ و ۳۰۳/۱۵ کلوین اندازه‌گیری شده و سپس داده‌های تجربی و محاسبه شده برای مطالعه ماهیت برهمنکنشهای بین این ترکیبات مورد استفاده قرار گرفت.

تحقیقاتی که بر روی خواص ترمودینامیکی مخلوطهای دوتایی با دی متیل فتالات انجام گرفته شد، شامل اندازه‌گیری دانسیته، ضریب شکست و ویسکوزیته مخلوط دوتایی دی متیل فتالات با ۱-پنتانول، ۱-بوتanol و ۱-پروپانول در دماهای ۳۰۸/۱۵، ۳۰۳/۱۵ و ۲۹۸/۱۵ کلوین می‌باشد [۷]. برخی از توابع اضافی ترمودینامیکی حاصل از اتحال دی متیل فتالات (DMP) با الکلهای ۱-پنتانول، ۱-بوتanol و ۱-پروپانول اندازه‌گیری شده و با کمک نتایج حاصل از این اندازه‌گیری‌ها، به بررسی برهمنکنشهای بین مولکولی پرداخته شد.

برخی از خواص موادی که در این تحقیق به کار گرفته شد:

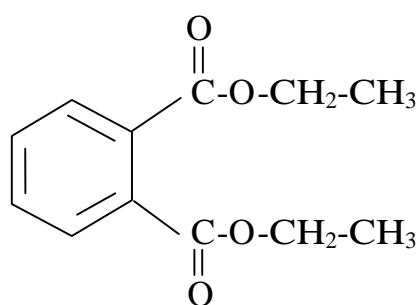
وینیل استات یک مایع با ویسکوزیته کم می‌باشد. این ماده در تولید بسیاری از پلیمرها و همچنین برای تولید چسب و رنگ و موادی که در بسته بندی مورد استفاده قرار می‌گیرد، بکار گرفته می‌شود.
۱-۲- دی‌کلرو بنزن دارای فرمول مولکولی $C_6H_4Cl_2$ و جرم مولی ($g.mol^{-1}$) ۱۴۷/۰۰ می‌باشد.
برمو سیکلو هگزان فرمول مولکولی $C_6H_{11}Br$ داشته و جرم مولی آن ($g.mol^{-1}$) ۱۶۳/۰۶ است.

دی متیل فتالات (DMP) به عنوان ماده پیشran در موشک‌ها، لاک الکل، حشره کشها و ضد آفتاب کاربرد دارد. و مایعی روغنی بیرنگ با بوی بسیار جزئی مطبوع که فرمول شیمیایی آن $C_{10}H_{10}O_4$ بوده و دارای جرم مولی ($g.mol^{-1}$) ۱۹۴/۱۹ است. بعلاوه این ماده بسیار جزئی در آب قابل حل است و فرمول ساختاری آن به صورت زیر می‌باشد:

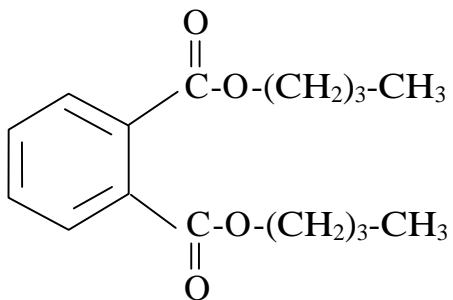


دی اتیل فتالات مایعی بی‌رنگ که مزه تلخ و نا مطبوعی دارد. در الکلها، کتونها، استرها و هیدرو کربن‌های آромاتیک محلول و در حللهای آلیفاتیک کمی محلول است و به عنوان حلال سلولز بکار می‌رود. این ماده سنتزی معمولاً در صنایع عطر سازی کاربرد داشته و همچنین برای ساخت پلاستیکهای با قابلیت ارتجاج و انعطاف پذیری بالا، مورد استفاده قرار می‌گیرد. صنایع بسته بندی مواد غذایی و ساخت وسایلی مانند مسوک دندان و اسباب بازی‌ها کاربرد دارد. همچنین این ماده در تهیه وسایل آرایشی و داروهای حشره-کش کاربرد دارد. نام سیستماتیک این ماده ۲-بنزن دی کربوکسیلیک اسید دی اتیل استر می‌باشد. فرمول مولکولی آن $C_{12}H_{14}O_4$ و جرم مولکولی این ماده $(gr.mol^{-1})$ ۱۱۸/۲۴ و دانسیته آن برابر با $(gr.cm^{-3})$ ۰/۲۲۲ می‌باشد. [۸]

فرمول ساختمانی این ماده به صورت زیر می‌باشد.



دی بوتیل فتالات به عنوان نرم کننده در سنتز ترکیبات آلی بکار می‌رود و دارای فرمول مولکولی $C_{16}H_{22}O_4$ می‌باشد. فرمول ساختاری آن را می‌توان بصورت زیر نمایش داد:



در این تحقیق برای مخلوطهای دوتایی وینیل استات با دی متیل فتالات، دی اتیل فتالات و دی بوتیل فتالات و مخلوط دوتایی دی اتیل فتالات با برمو سیکلو هگزان و مخلوط دوتایی ۱-۲ دی کلرو بنزن با دی بوتیل فتالات دانسیته ترکیبات خالص و مخلوطهای دوتایی توسط دستگاه دانسیته‌متر آنتون پار با دقت $10^{-4} \text{ gr.cm}^{-3}$ در دماهای مختلف اندازه‌گیری گردید. سپس با کمک دانسیته تجربی هر یک از ترکیب خالص و مخلوطها، حجم اضافی (V^E) محاسبه گردید. با کمک دستگاه ویسکوزیته سنج شات گراته، ویسکوزیته ترکیبات خالص و مخلوطها اندازه‌گیری گردید و انحراف گرانزوی از حالت ایده‌آل ($\Delta\eta$) و سپس با کمک آن تغییرات انرژی آزاد گیبس فعالسازی (ΔG^E) نیز محاسبه شد.

همه این داده‌های مربوط به توابع اضافی ترمودینامیکی توسط معادله ردیچ-کیستر تصحیح و بهم مرتبط گردیدند، تا پارامترهای برهمکنشهای دوتایی، انحراف استاندارد حجم مولار اضافی، انحراف از ضریب شکست، تغییرات انرژی گیبس اضافی و انحراف از ویسکوزیته تخمین زده شود. همچنین داده‌های ویسکوزیته با معادله مک-آلیستر [۹] تصحیح گردیدند، و از روی داده‌های انحراف از ویسکوزیته، ضرایب مک-آلیستر توسط نرم افزار اس پی اس اس به دست آمدند.

با کمک این توابع و رسم منحنی‌های آنها بر حسب کسر مولی یکی از ترکیبات مخلوطهای دوتایی به مطالعه نوع برهمکنشهای بین مولکولی پرداختیم.

فصل دوّم: مبانی نظری

۱-۲- ویسکوزیته

ویسکوزیته خاصیتی که سختی جاری شدن یک سیال را مشخص می‌کند. با افزایش دما ویسکوزیته گازها افزایش می‌باید، اما ویسکوزیته مایعات با افزایش دما کاهش می‌باید. این تفاوت را می‌توان با بررسی عوامل ویسکوزیته توضیح داد، هر فازی در مقابل حرکت توده‌های خود دارای مقاومت می‌باشد. این مقاومت برای فاز گاز ناچیز است و برای فاز مایع زیاد می‌باشد. مایعات نیز در برابر حرکت لایه‌های خود از خود مقاومت نشان می‌دهند.

برای مایعات بیشتر تحقیقات بر عبور مایع در لوله‌ها معطوف شده است. حرکت یک مایع در درون لوله می‌تواند شامل سه بخش عمده باشد:

۱- حرکت آرام (Laminar Flow): در این نوع حرکت، لایه‌های مایع به آرامی بر روی هم می‌لغزند و حرکت مایع ادامه می‌باید. طول این ناحیه بنا به سرعت اولیه مایع یا زبری سطح لوله می‌تواند کوتاه یا بلند باشد.